

**Методы КТП в задачах  
нанопластики: спектральный  
анализ, техника теплового  
ядра, функциональное  
интегрирование**

**В.В. Нестеренко**

*Лаборатория теоретической физики им. Н.Н. Боголюбова  
ОИЯИ, Дубна*

VII Зимняя школа по теоретической физике  
«Введение в теорию наноструктур»  
Дубна, январь 25 - февраль 5, 2009

### Основная задача:

**расчет сил Ван дер Ваальса (молекулярных, флуктуационных) между макроскопическими телами**

### **ПЛАН**

- 1. Физическая природа сил В-д-В: простой пример их расчета для двух линейных осцилляторов.**
- 2. Основные идеи использования КТП в теории конденсированного состояния.**
- 3. Расчет эффекта Казимира для идеально проводящих пластин.**
- 4. Формула Лифшица (вывод).**
- 5. Вакуумные эффекты для границ с более сложной геометрией.**
- 6. Проблема расходимостей в казимировских расчетах.**
- 7. Техника теплового ядра и спектральные дзета-функции.**
- 8. Вакуумные эффекты при ненулевой температуре, высокотемпературная асимптотика термодинамических функций.**
- 9. Модель плазменной оболочки (грубая модель графена).**

# Физическая природа сил В-д-В

(1)

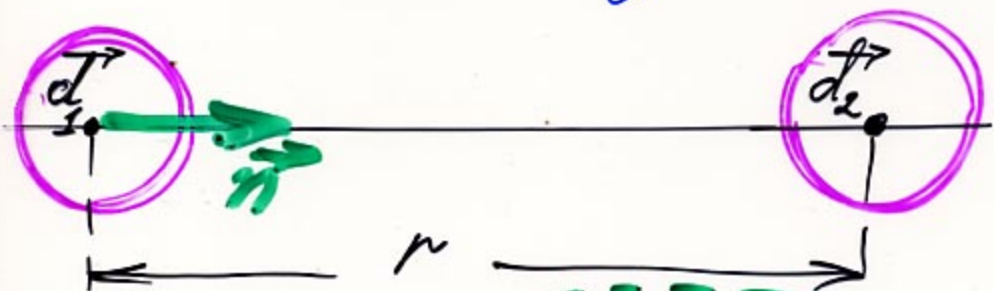
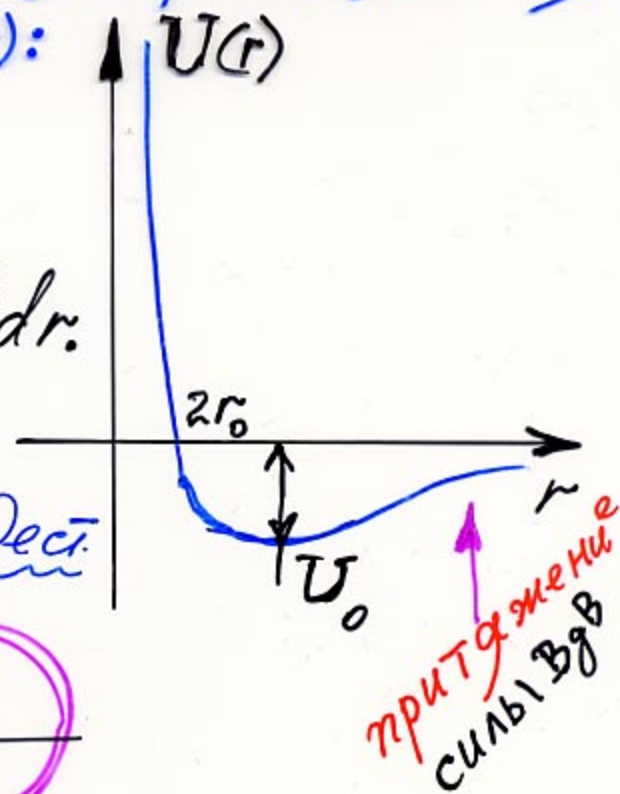
Уравнение В-д-В, описывающее состояние неидеального газа (интермолекулярная ф-ла, неединичная):

$$\left(p + \frac{N^2 a}{V^2}\right)(V - Nb) = NT,$$

$$b \approx 4\sigma_{mol}, \quad a = \pi \int_{2r_0}^{\infty} |U(r)| r^2 dr.$$

$$\sigma_{mol} = \frac{4}{3} \pi r_0^3$$

Энергия э-м взаимодейст.



$$V(r) = \frac{q_1 q_2}{r} + (\text{дип-дип}) \frac{1}{r^3} + (\text{дип-квар.}) \frac{1}{r^4} +$$

$$q_1 = q_2 = 0$$

$$+ (\text{квар.-квар., дип-дип}) \frac{1}{r^5} \dots$$

$$V^{dip}(r) = \frac{-\vec{d}_1 \vec{d}_2 + 3(\vec{d}_1 \vec{n})(\vec{d}_2 \vec{n})}{r^3}$$

$$\langle \psi_0 | V^{dip}(r) | \psi_0 \rangle = 0$$

$$H = H_0 + V(r), \quad E_n^{(1)} = V_{nn} = \langle n | V^{dip} | n \rangle = 0$$

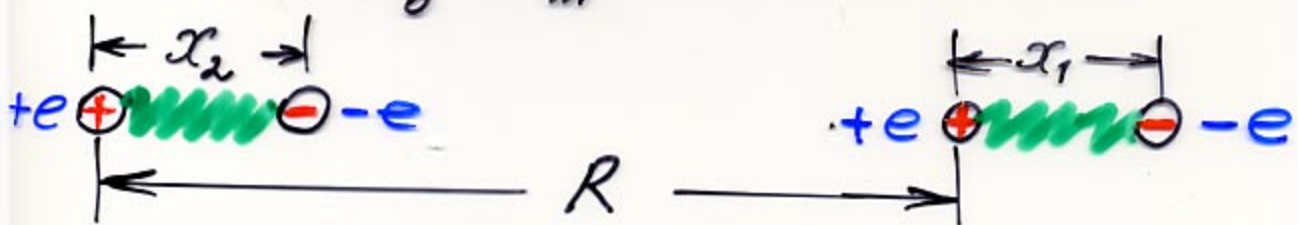
$$E_n^{(2)} = \sum_m \frac{|V_{mn}|^2}{E_n^{(0)} - E_m^{(0)}} \sim \frac{1}{r^6} \quad (\text{F. London, 1928})$$

# Модель двух осцилляторов

(2)

$$H_0 = \frac{1}{2m} p_1^2 + \frac{1}{2} \beta x_1^2 + \frac{1}{2m} p_2^2 + \frac{1}{2} \beta x_2^2$$

$$\omega_0^2 = \frac{\beta}{m}$$



$$H_1 = \frac{e^2}{R} + \frac{e^2}{R+x_1-x_2} - \frac{e^2}{R+x_1} - \frac{e^2}{R-x_2}$$

Пусть  $|x_1|, |x_2| \ll R$ , тогда

$$H_1 \approx -\frac{2e^2 x_1 x_2}{R^3}$$

$$\frac{1}{R+\alpha} = \frac{1}{R(1+\frac{\alpha}{R})} = \frac{1}{R} \left(1 + \frac{\alpha}{R}\right)^{-1} = \frac{1}{R} \left(1 - \frac{\alpha}{R} + \frac{\alpha^2}{R^2} - \dots\right)$$

Полная гамильтониан  $H_0 + H_1$  в этом приближении диагонализуются подстановкой (какой-то преобразованием):

$$x_s = \frac{1}{\sqrt{2}} (x_1 + x_2), \quad x_a = \frac{1}{\sqrt{2}} (x_1 - x_2)$$

$$p_s = \frac{1}{\sqrt{2}} (p_1 + p_2), \quad p_a = \frac{1}{\sqrt{2}} (p_1 - p_2)$$

$$H = \frac{1}{2m} p_s^2 + \frac{1}{2} \left(\beta - \frac{2e^2}{R^3}\right) x_s^2 + \frac{1}{2m} p_a^2 + \frac{1}{2} \left(\beta + \frac{2e^2}{R^3}\right) x_a^2$$

$$\Delta U = \frac{\hbar}{2} (\Delta\omega_s + \Delta\omega_a) = -\hbar\omega_0 \cdot \frac{1}{\delta} \left(\frac{2e^2}{\beta R^3}\right)^2$$

Сдвиг энергии нулевых квант.

(3)

Потенциал Леонарда-Джонса

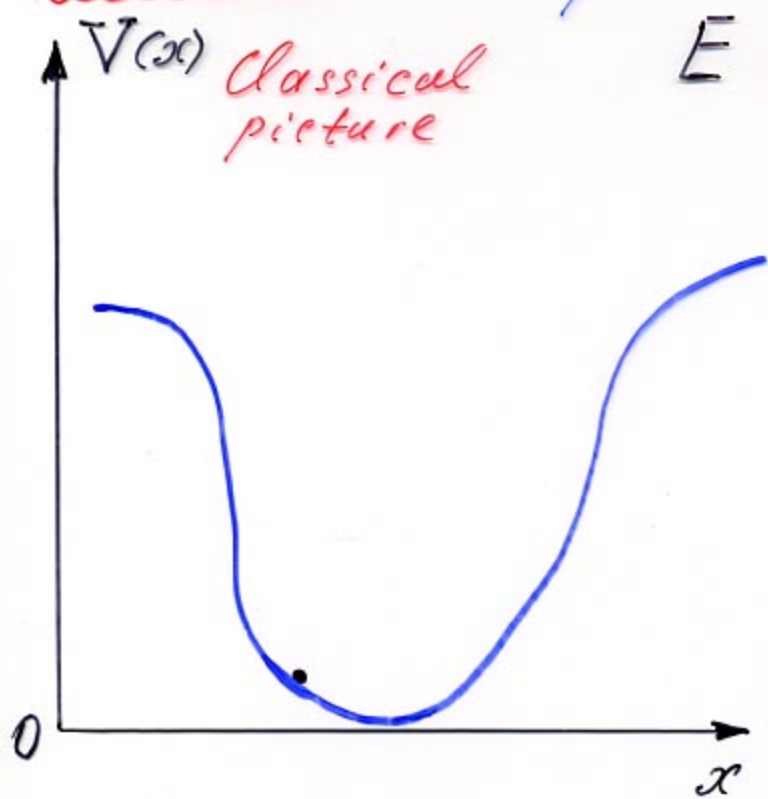
$$U(R) = 4\varepsilon \left[ \left( \frac{6}{R} \right)^{12} - \left( \frac{6}{R} \right)^6 \right]$$

Учёт запаздывания (Казимир, Полдер 1948)

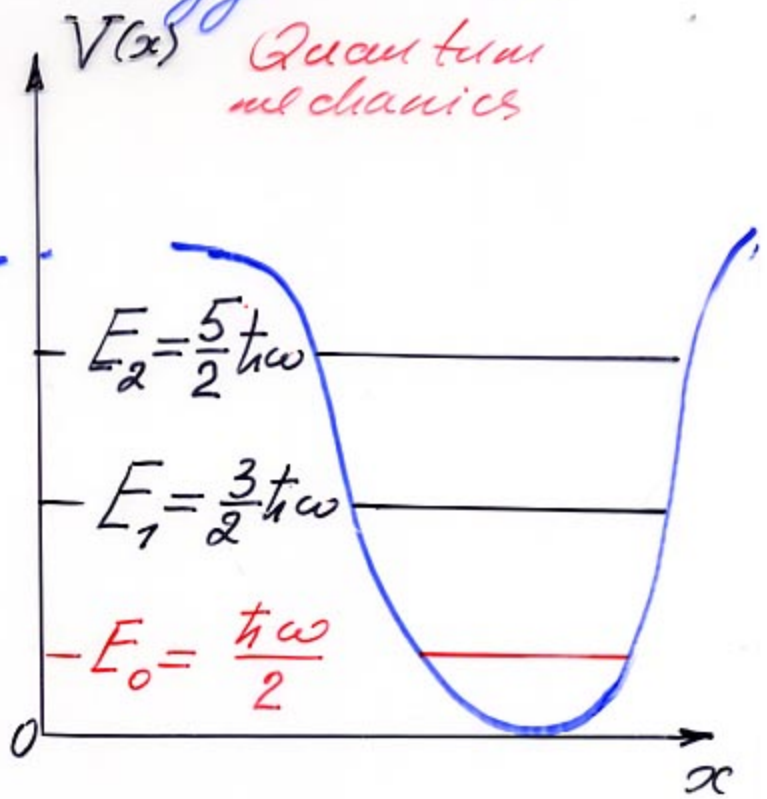
$$U(R) = -\frac{23\hbar c}{4\pi R^7} \alpha_1(0) \alpha_2(0),$$

$\alpha_i$  — поляризуемости.

# Lecture 1. Zero point energy in QM



Classical picture



Quantum mechanics

$E$  is a continuous quantity  
 $0 \leq E < \infty$

$E$  is a discrete quantity  
 $E_n = \hbar\omega \left(n + \frac{1}{2}\right), n = 0, 1, 2, \dots$

$E_0 = \frac{\hbar\omega}{2}$

$\hat{H} = \frac{1}{2} \hat{p}^2 + \frac{\omega^2}{2} \hat{q}^2; \quad [\hat{q}, \hat{p}] = i\hbar, \quad \hat{p} = -i\hbar \frac{d}{dq} \quad (1.1)$

$\hat{H} = \frac{\hbar\omega}{2} \left( \frac{\hat{p} + i\omega\hat{q}}{\sqrt{2\omega\hbar}} \cdot \frac{\hat{p} - i\omega\hat{q}}{\sqrt{2\omega\hbar}} + \frac{\hat{p} - i\omega\hat{q}}{\sqrt{2\omega\hbar}} \cdot \frac{\hat{p} + i\omega\hat{q}}{\sqrt{2\omega\hbar}} \right) \quad (1.2)$

$\begin{matrix} \text{III} & \text{III} & \text{II} & \text{II} \\ a^+ & a & a & a^+ \end{matrix}$

$[a, a^+] \equiv a a^+ - a^+ a = 1, \quad (1.3)$

$\hat{H} = \frac{\hbar\omega}{2} (a^+ a + a a^+) = \frac{\hbar\omega}{2} (a^+ a + 1) \quad (1.4)$

$|n\rangle = (a^+)^n |0\rangle, \quad a |0\rangle = 0 \quad (1.5)$

$\hat{H} |0\rangle = E_0 |0\rangle = \frac{\hbar\omega}{2} |0\rangle \quad (1.6)$

$E_0 = \frac{\hbar\omega}{2} \quad (1.7)$

Differential equation

$(-\frac{1}{2} \frac{d^2}{dx^2} + \frac{\omega^2}{2} x^2) \psi_0(x) = E_0 \psi_0(x) \quad (\hbar=1) \quad (1.8)$

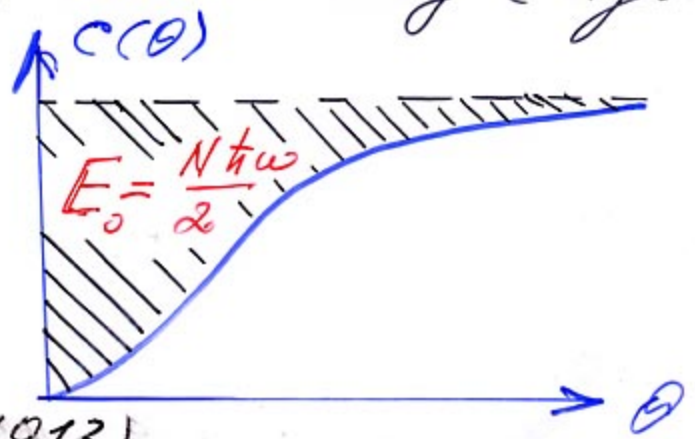
$\psi(x) = e^{-ax^2} \phi(x)$

- Problem 1.1. i) Check eqs. (1.2) - (1.7)  
 ii) By direct solving Eq. (1.8) find  $E_0$  without addressing the Hermitean polynomials.

The zero point energy of a finite number of harmonic oscillators is measurable experimentally.

(neutron scattering on crystals at low temperature  $\langle (\Delta x)^2 \rangle \neq 0$  (Debye, 1914) <sup>X-ray Diffract</sup>)

specific heat  $c_v$  of solid body (crystal)



(Einstein and Stern, 1913)

# Ground state energy in quantum 5 field theory

(oscillator formalism)

Scalar field  $\varphi(t, \vec{x})$  (noninteracting)

Klein-Gordon equation

$$(\partial_\mu \partial^\mu + m^2) \varphi(t, \vec{x}) = 0, \quad \partial_\mu \partial^\mu \equiv \square$$

Canonical formalism

$$\mathcal{L}(\varphi, \partial\varphi) = \frac{1}{2}(\partial\varphi)^2 - \frac{m^2}{2}\varphi^2,$$

$$\pi(t, \vec{x}) = \frac{\partial \mathcal{L}}{\partial \dot{\varphi}(t, \vec{x})} = \dot{\varphi}(t, \vec{x}) \equiv \frac{\partial}{\partial t} \varphi(t, \vec{x})$$

$$H = \int d^3\vec{x} (\dot{\varphi} \pi - \mathcal{L}) = \int d^3\vec{x} [\pi^2 + (\vec{\nabla}\varphi)^2 + m^2\varphi^2]$$

The Fock representation

$$\varphi(t, \vec{x}) = \int d^3\vec{k} [f_{\vec{k}}(t, \vec{x}) a^\dagger(\vec{k}) + f_{\vec{k}}^*(t, \vec{x}) a(\vec{k})]$$

$$(\square + m^2) f_{\vec{k}}(t, \vec{x}) = 0, \quad (\square + m^2) f_{\vec{k}}^*(t, \vec{x}) = 0$$

$$H = \int d^3\vec{k} \frac{\hbar \omega(\vec{k})}{2} [a^\dagger(\vec{k}) a(\vec{k}) + a(\vec{k}) a^\dagger(\vec{k})] =$$

$$= \int d^3\vec{k} \hbar \omega(\vec{k}) : a^\dagger(\vec{k}) a(\vec{k}) : + \underbrace{\int d^3\vec{k} \frac{\hbar \omega(\vec{k})}{2}}_{\text{Casimir energy}}$$

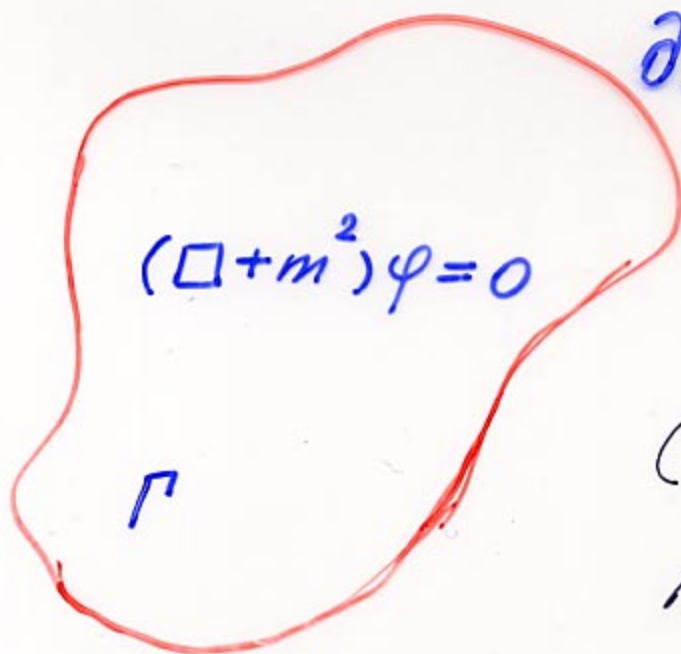
$$\omega(\vec{k}) = \sqrt{\vec{k}^2 + m^2}$$

$$[a(\vec{k}), a^\dagger(\vec{k}')] = \delta^{(3)}(\vec{k} - \vec{k}')$$

Casimir energy  
 $E_C \rightarrow \infty$



Quantum field theory under the influence of the boundary conditions (6)



Boundary conditions

$$\hat{B}\varphi|_{\partial\Gamma} = 0$$

(Dirichlet  $\varphi|_{\partial\Gamma} = 0$ )

Neumann  $\partial\varphi|_{\partial\Gamma} = 0$   
and so on)

Quantization

$$\varphi(t, \vec{x}) = \int d^3\vec{k} \left[ f_{\vec{k}}(\partial\Gamma, t, \vec{x}) a(\vec{k}) + f_{\vec{k}}^*(\partial\Gamma, t, \vec{x}) a^\dagger(\vec{k}) \right]$$

$$(\square + m^2) f_{\vec{k}}(\partial\Gamma, t, \vec{x}) = 0 \quad (\square + m^2) f_{\vec{k}}^*(\partial\Gamma, t, \vec{x}) = 0$$

Boundary conditions

$$\hat{B} f_{\vec{k}}(\partial\Gamma, t, \vec{x})|_{\partial\Gamma} = 0$$

The Fock operators are introduced for given boundary conditions!

(7)

$$H = \int d^3\vec{k} \hbar \omega(\vec{k}) : a^\dagger(\vec{k}) a(\vec{k}) +$$

$$+ \underbrace{\int d^3\vec{k} \frac{\hbar \omega(\vec{k})}{2}}_{= E_c(\partial\Gamma)}$$

Definition of the physical (observable) vacuum energy

$$E_c^{\text{phys}}(\partial\Gamma) = E_c(\partial\Gamma) - E_c(\partial\Gamma_0)$$

↑  
Subtraction or renormalization  
of the vacuum energy

Correct mathematical treatment requires  
regularization:

- i) Cut off (sharp or smooth)
- ii) Zeta regularization